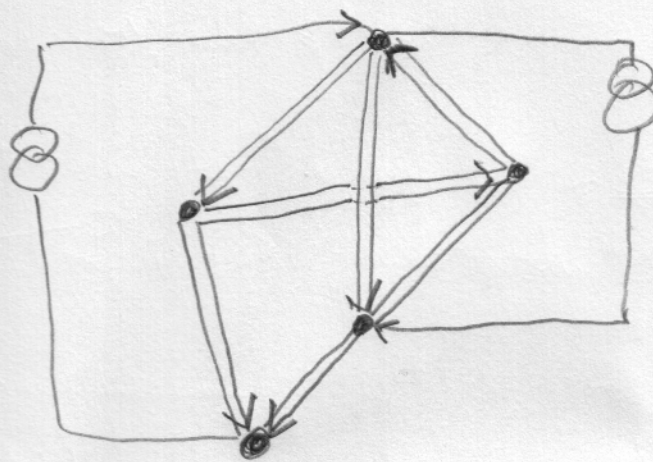


3. 1 Strömung im Rohrleitungssystem



1) Netzwerk von Röhren beschrieben durch gerichteten Graphen.

- Knotenmenge $V = \{v_1, \dots, v_n\}$, $|V| = n$.

- Kantenmenge $E = \{e_1, \dots, e_M\}$, $|E| = M$,

$E \subseteq V \times V$, $\text{bzw. mit } (v, w) \in E \Rightarrow (w, v) \notin E$

- $E = E_R \cup E_p$ „Röhren und Pumpen“, $|E_R| = m$,

$E_R = \{e_1, \dots, e_m\}$, $E_p = \{e_{m+1}, \dots, e_M\}$.

eigent-
lich
hier!

2) Gesetz von Hagen-Poiseuille.

Röhre $e = (v, w)$ (von Knoten v nach Knoten w)

$$(3.1) \quad q_e = \frac{\pi r_e^4}{8\eta d_e} \Delta p_e$$

$=: l_e$ „Leitfähigkeit“

q_e : Volumenstrom $[m^3/s]$

r_e : Radius der Röhre e [m]

d_e : Länge der Röhre e [m]

γ : dyn. Viskosität Flüssigk. [Pas]

Orientierung: $q_e > 0$ falls Fluss von Knoten v nach w .

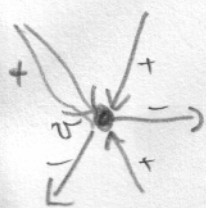
$q_e < 0$ Fluss von w nach v

Δp_e : gerichtete Druckdifferenz über Röhre e [Pa] = $[-\frac{N}{m^2}]$

$\Delta p_e > 0 \rightarrow q_e > 0$

3) Knotenregel (1. Kirchhoff'sches Gesetz)

07.10.09



$$E_v^+ = \{(u, w) \in E \mid u = v\} \text{ „ausgehend“}$$

$$E_v^- = \{(u, w) \in E \mid w = v\} \text{ „eingehend“}$$

$$\sum_{e \in E_v^+} q_e - \sum_{e \in E_v^-} q_e = 0 \quad \forall v \in V. \quad (3.2)$$

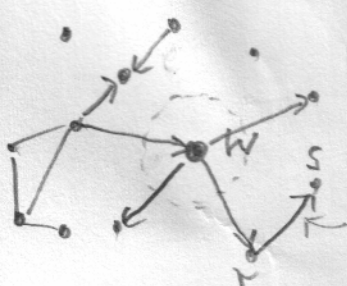
Grund: Massenerhaltung, Knoten speichert keine Flüssigkeit.

Nur $n-1$ der Beziehungen (3.2) sind linear unabhängig:

Wähle $w \in V$.

$$\sum_{v \in V \setminus \{w\}} \left(\sum_{e \in E_v^+} q_e - \sum_{e \in E_v^-} q_e \right) = \sum_{v \in V \setminus \{w\}} \sum_{e \in E_v^+} q_e - \sum_{v \in V \setminus \{w\}} \sum_{e \in E_v^-} q_e$$

$= 0!$



$$e' = (r, s) \quad r \neq w, s \neq w$$

Kommt genau zweimal

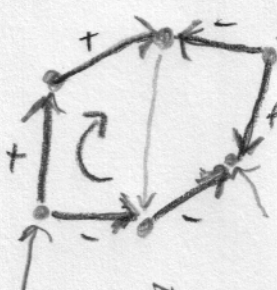
vor: $+q_{e'}$ für Knoten s (eingehend)

$-q_{e'}$ für Knoten r (ausgehend)

$$= \left[\sum_{e \in E_w^-} q_e - \sum_{e \in E_w^+} q_e = 0 \right]$$

Knotenregel für $v \in V \setminus \{w\}$ erfüllt \Rightarrow Knotenregel für w erfüllt.

4) Maschenregel (2. Kirchhoff'sches Gesetz)



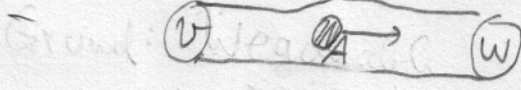
- Betrachte $C \subseteq E$, C beliebigen geschlossenen Pfad

- $C^+ = \{e \in C \mid e \text{ genauso wie } C \text{ orientiert}\}$
 $C^- = \{e \in C \mid e \text{ entgegen } C \text{ orientiert}\}$

Dann gilt

Grund:

$$\sum_{e \in C^+} \Delta p_e - \sum_{e \in C^-} \Delta p_e = 0 \quad \forall \text{ Pfade}$$



$$\int_v^w \Delta p_e \cdot A \cdot ds$$

$$\frac{N}{m^2}$$

$$\cdot A \cdot ds$$

ist Energie die notwendig ist um Probelkörper von v nach w zu bringen

ist Energie die notwendig die notwendig ist um Probelkörper von v nach w zu bringen

- Betr. zweihel. Knoten: M.S. Energie um K. von r nach s zu bringen unabhängig von wie.

- Lineare Abhängigkeit!

5) Knotenpotentialverfahren

(07.10.09)

Folge der Marchenregel:

(„Potentiale“)

- Man darf $n-1$ Knotendrücke p_v als Unbekannte wählen
- $e = (v, w) \in E_R : \Delta p_e = p_v - p_w$
- Pfad im einem (Referenz-) Knoten kann willkürlich festgelegt werden. z.B. $p_r = 0$. ($p_r, v \in V$ Lösung $\Rightarrow p_v + \text{const}$ auch Lösung)
- Marchenregel ist dann für alle Pfade erfüllt.

a) $\forall e \in E_R$ schreibe Druckdifferenz:

$$e = (v, w) \in E_R : \Delta p_e = \begin{cases} p_v - p_w & v \neq r \wedge w \neq r \\ p_v & w = r \\ p_w & v = r \end{cases} \quad r: \text{Referenzknoten}$$

Wähle „Anordnung“ $e_k \leftrightarrow k$ $v_i \leftrightarrow i$ Wahl

$$e_k = (v_i, v_j) : k \quad \begin{bmatrix} \Delta p \end{bmatrix} = \begin{bmatrix} | & | \\ B & | \\ | & -1 \\ i & j \end{bmatrix} \begin{bmatrix} p \end{bmatrix} \quad \begin{array}{l} r = v_n \\ \Rightarrow p = (p_{v_1}, \dots, p_{v_{n-1}})^T \\ \Delta p = (\Delta p_1, \dots, \Delta p_m) \end{array}$$

$m \times (n-1)$ Matrix

$$\begin{array}{c} |E_R| \\ |V|-1 \end{array}$$

b) Leitfähigkeiten:

$$e \in E_R : q_e = L_e \Delta p_e$$

als Matrix:

$$\begin{bmatrix} q \end{bmatrix} = \begin{bmatrix} L \end{bmatrix} \begin{bmatrix} \Delta p \end{bmatrix}$$

$m \times m$
Diagonalmatrix $m = |E_R|$

c) Knotenregeln: $n-1$ Stück für Knoten v_1, \dots, v_{n-1} (exklusive Referenzknoten)

$$v \in V \setminus \{v_n\} : \sum_{e \in E_V^+} q_e - \sum_{e \in E_V^-} q_e = 0$$

Pumpenströme auf rechte Seite $\Leftrightarrow \sum_{e \in E_V^+ \cap E_R} q_e - \sum_{e \in E_V^- \cap E_R} q_e = \sum_{e \in E_V^+ \cap E_P} q_e - \sum_{e \in E_V^- \cap E_P} q_e$

$$\Leftrightarrow \begin{bmatrix} B^T \end{bmatrix} \begin{bmatrix} q \end{bmatrix} = \begin{bmatrix} b \end{bmatrix} \quad b = (b_1, \dots, b_{n-1})$$

enthält Pumpenströme

$(n-1) \times m$ Matrix

Alles zusammen:

4
07.10.09

$$\underbrace{B^T L B}_{=: A} p = b$$

$$\Leftrightarrow A p = b$$

- A ist $(n-1) \times (n-1)$ Matrix

- A ist symmetrisch und positiv definit, d.h. $x^T A x > 0 \forall x \neq 0$
- damit insbesondere invertierbar
- A ist dünn besetzt:
- $a_{ij} \neq 0 \Leftrightarrow (v_i, v_j) \in E \vee (v_j, v_i) \in E$.
- Sehr viele Einträge sind Null
- $| \{(i,j) \mid a_{ij} \neq 0\} | = O(n)$ (statt n^2).

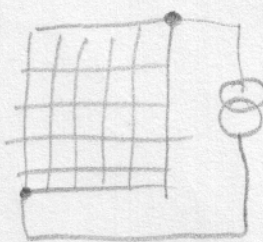
$$L: l_{ii} = \sqrt{\alpha_{ii}}$$

$$\begin{matrix} & n-1 \\ m & \square \end{matrix}$$

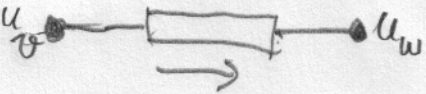
Bew 1) $B \in \mathbb{R}^{m \times (n-1)}$ hat max. Rang, also $n-1$ da
2) L diagonal mit $l_{ii} > 0$
3) Sei $x \neq 0$, $y := Bx$ dann ist
 $x^T A x = \sum_i l_{ii} y_i^2 > 0$ da
 $\dim(\ker(B)) + \text{rang}(B) = n-1$
und $\text{rang}(B) = n-1 \Rightarrow \dim(\ker(B)) = 0$
also $y = 0$ nur für $x = 0$.

Ü1 : ein kleines Network

Ü2 : New York City



(aus Widerständen)

- völlig analog lassen sich elektrische Netzwerke behandeln
Ohm'sche Gesetze
- $$i_e = \frac{1}{R_e} (u_v - u_w)$$
- ie: Strom durch Widerstand R_e
 u_v : Knotenpotentiale
 R_e : Widerstand
- 

- RLC Netzwerke mit harmonischer Aregung
→ komplexe Ströme und Spannungen

$$A x = b \quad \text{mit } x, b \in \mathbb{C}^n, A \in \mathbb{C}^{n \times n}$$

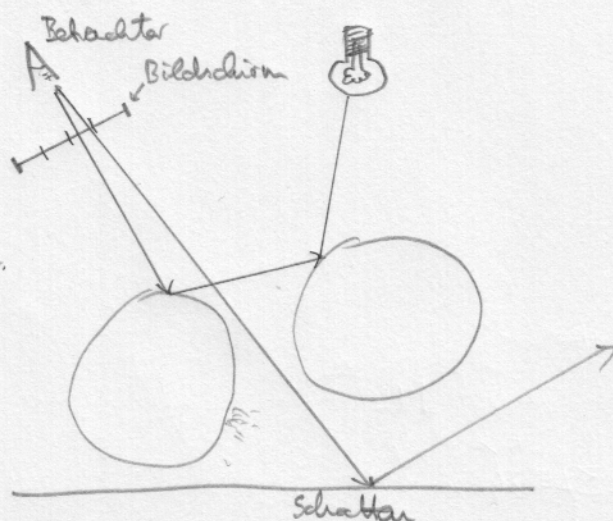
L: Spulen

C: Kapazitäten.

3.2 Radiosity-Methode in der Computergrafik

Belichtung einer „Szene“.

Ray-Tracing:



Nachteil: starke Schatten.

Radiosity-Methode:

$$S = \{x \in \mathbb{R}^3 \mid x \text{ auf Oberfläche eines Objekts}\}$$

Bestimme $B : S \rightarrow \mathbb{R}$ „Energiedichte“

$$\int_S B dA = \text{von } w \text{ abgestrahlte Energie}$$

Energie wird von einem Punkt $x \in S$ in alle Richtungen abgestrahlt.

Bestimmungsgleichung für $B(x)$:

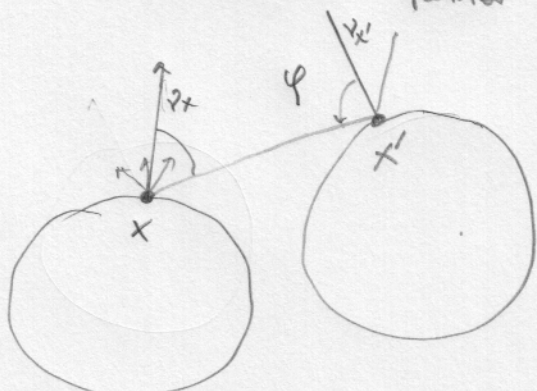
$$B(x) = E(x) + \int_S \rho(x) B(x') \underbrace{\frac{\cos \varphi_{x,x'} \cos \varphi'_{x',x}}{\pi \|x-x'\|^2} V(x,x') dA'}_{=: \lambda(x,x') \text{ „Kern“}}$$

reflektiertes Licht

\uparrow \uparrow \uparrow

$x \in S$ Energiestrahlung Reflexionsfaktor

(Lichtquelle) (Lichtquelle) (Licht von x')



$$\varphi_{a,b} = \varphi(v_a, b-a)$$

$$\cos \varphi_{a,b} = \begin{cases} 1 & \text{Licht trifft auslichtung } v_a \text{ ein} \\ 0 & \text{Licht trifft tangential zur Oberfl. ein} \end{cases}$$

Sichtbarkeit (Visibility)

$$V(x,x') = \begin{cases} 1 & x' \text{ von } x \text{ aus sichtbar} \\ 0 & \text{sonst} \end{cases}$$

(Eigenschaft der Szene)

Integralgleichung für $B(x) : S \rightarrow \mathbb{R}$:

6
09.10.09

$$B(x) - g(x) \int_S B(x') \lambda(x, x') dA' = E(x) \quad \forall x \in S.$$

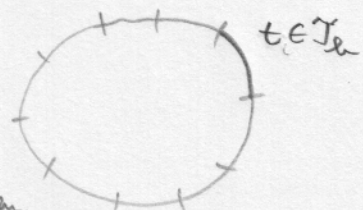
Numerische Lösung mit „Kolokationsmethode“:

a) Zerlegung der Oberfläche: $T_h = \{t_1, \dots, t_n\}$

$$t_i \subset S, t_i \cap t_j = \emptyset \quad \forall i \neq j, \quad \bigcup_{i=1}^n T_i = S$$

t_i : offene Gebiete.

Könnte man abchwägen.



Zu $t \in T_h$ wähle x_t = Mittelpunkt von t .

Dieser Prozess heißt auch Diskretisierung. Üblich bei Differential- und Integralgleichungen.

b) Approximiere $B : S \rightarrow \mathbb{R}$ durch diskrete Funktion $B_h : S \rightarrow \mathbb{R}$.

$$B_h(x) = \sum_{j=1}^n z_j \varphi_j(x) \quad z_j \in \mathbb{R} \text{ Koeffizient}$$

$\varphi_j : S \rightarrow \mathbb{R}$ „Basisfunktion“

d.h. $\varphi_1, \dots, \varphi_n$ linear unabhängig.

stückweise konstante Funktionen:

$$\varphi_j(x) = \begin{cases} 1 & \text{falls } x \in t_j \\ 0 & \text{sonst.} \end{cases}$$

c) Erfülle Integralgleichung neu für $x \in X_h = \{x_{t_1}, \dots, x_{t_n}\}$.

$$B_h(x_i) - g(x_i) \int_S B_h(x') \lambda(x_i, x') dA' = E(x_i) \quad i = 1, \dots, n$$

$$\Leftrightarrow \sum_{j=1}^n z_j \varphi_j(x_i) - g(x_i) \int_S \sum_{j=1}^n z_j \varphi_j(x') \lambda(x_i, x') dA' = E(x_i) \quad i = 1, \dots, n$$

$$\Leftrightarrow \sum_{j=1}^n z_j \left\{ \varphi_j(x_i) - g(x_i) \int_S \varphi_j(x') \lambda(x_i, x') dA' \right\} = E(x_i) \quad i = 1, \dots, n$$

$\underbrace{\phantom{\sum_{j=1}^n z_j \left(\varphi_j(x_i) - g(x_i) \int_S \varphi_j(x') \lambda(x_i, x') dA' \right)}_{=: a_{ij}}}_{b_i}$

$$\boxed{Az = b}.$$

- Integral in a_{ij} wird i. d. R. auch numerisch berechnet.
 \Rightarrow Methoden später in der Vorlesung.

- Man begeht einen Diskretisierungsfehler

$$\| B - B_h \| = O(h^\alpha) \quad (\text{Konvergenz})$$

mit $h = \max_{t \in T_h} \text{diam}(t)$, α : "Konvergenzordnung".

d.h. je feiner die Unterteilung ($n \rightarrow \infty$), desto besser approximiert B_h die geradlinige Funktion B .

- \Rightarrow Gleichungssysteme können beliebig groß werden.
 (im Gegensatz zum Röhrennetzwerk).

- A ist in diesem Fall nicht dünn besetzt sondern voll besetzt!